

JERZY TOMECZEK

Katedra Teorii Maszyn Ciepłych

NIEUSTALONE POLE TEMPERATURY W PALIWIE I CHŁODZIWIE
REAKTORA CHŁODZONEGO WODĄ POD CIŚNIENIEM*)

W pracy opracowano zależności opisujące zmianę temperatury paliwa, chłodziwa i gęstości źródeł ciepła po dowolnej zmianie reaktywności lub skokowej zmianie strumienia chłodziwa. Równania bilansu energii rozwiązano w układzie dwóch współrzędnych geometrycznych. Dla równań kinetyki neutronów wykorzystano rozwiązanie Keepina i Coxa [4].

Wyniki porównano z rozwiązaniem, w którym przyjęto równania bilansu energii w układzie jednej współrzędnej geometrycznej.

1. Wstęp

Zakłócenie równowagi w reaktorze jądrowym zachodzi najczęściej poprzez zmianę reaktywności lub zmianę strumienia chłodziwa. Reaktor pomimo tego, że jest asymptotycznie stabilny może osiągnąć w stanie nieustalonym obszar parametrów niebezpiecznych. Z tego względu konieczna jest znajomość zmiany w czasie takich parametrów jak: maksymalna temperatura w osi paliwa, maksymalna temperatura na powierzchni paliwa, temperatura chłodziwa. Znajomość rozkładu temperatury umożliwia ponadto poznanie rozkładu naprężeń termicznych panujących w elemencie paliwowym.

*) Artykuł jest streszczeniem fragmentu pracy doktorskiej pt.: "Nieustalone stany cieplne w wodnym reaktorze jądrowym". Promotorem pracy był prof. dr inż. Stanisław Ochęduszek.

Rozważania przeprowadzone w niniejszej pracy mają istotne znaczenie w reaktorach, w których liczba Biota (obliczona dla powierzchni elementu paliwowego) jest duża. Inaczej mówiąc, mają znaczenie w układach, w których współczynnik przejmowania ciepła od paliwa do chłodziwa jest duży lub duża jest średnica elementu paliwowego bądź też mały jest współczynnik przewodzenia ciepła w materiale elementu paliwowego. Ostatni warunek spełniony jest zawsze w przypadku elementów paliwowych z UO_2 .

Analiza stanu nieustalonego wymaga rozwiązania równań bilansu energii w paliwie i chłodziwie oraz równań kinetyki neutronów. W tym celu założono, że:

- a) spełniony jest punktowy model kinetyki uwzględniający sześć grup neutronów opóźnionych,
- b) przewodzenie ciepła w elemencie paliwowym odbywa się tylko w kierunku normalnym do jego osi [6],
- c) przewodzenie ciepła w chłodziwie wzdłuż kanału chłodzącego jest znikome,
- d) współczynnik wyrównywania temperatury w paliwie jest niezmienny,
- e) temperatura chłodziwa jest niezmienna w poprzecznym przekroju kanału,
- f) przekazywanie ciepła od paliwa do chłodziwa odbywa się tylko poprzez konwekcję,
- g) pręt paliwowy traktowany będzie jak jednorodny pręt o rozmiarze zewnętrznym równym wewnętrznemu rozmiarowi osłony paliwa - opór cieplny osłony paliwa dodany zostanie do oporu konwekcyjnego,
- h) temperatura chłodziwa na dopływie do reaktora jest niezmienna.

2. Pole temperatury w stanie nieustalonym

Równania bilansu energii dla paliwa i chłodziwa mają postać:

$$\frac{\partial t_u [r^+, z^+, (Fo)]}{\partial (Fo)} = \nabla_{r^+}^2 t_u + \varepsilon q_v [r^+, z^+, (Fo)]$$

$$\begin{aligned} & \frac{\partial t_c [z^+, (Fo)]}{\partial (Fo)} + B \frac{\partial t_c [z^+, (Fo)]}{\partial z^+} = \\ & = A \left\{ t_u [1, z^+, (Fo)] - t_c [z^+, (Fo)] \right\} + \Gamma P [z^+, (Fo)] \end{aligned} \quad (1)$$

Układ równań (1) należy rozwiązać przy następujących warunkach brzegowych:

$$\left. \frac{\partial t_u}{\partial r^+} \right|_{r^+=1} + (Bi) \left\{ t_u [1, z^+, (Fo)] - t_c [z^+, (Fo)] \right\} = 0$$

$$\left. \frac{\partial t_u}{\partial r^+} \right|_{r^+=0} = 0 \quad (2)$$

$$t_c [0, (Fo)] = t_{c0} = 0$$

Przed zaistnieniem zakłócenia reaktor był w stanie równowagi termicznej, przy czym temperatury paliwa i chłodziwa wynosiły $t_u(r^+, z^+, 0)$ i $t_c(z^+, 0)$.

Rozwiązanie zagadnienia brzegowego (1), (2) jest utrudnione przez obecność pochodnej $\frac{\partial t_u}{\partial z^+}$ w drugim z równań (1). Celem usunięcia tej niedogodności dokonany zostanie podział komórki na elementy wzdłuż osi z^+ . Oznaczając przez h_β wysokość

elementu β ($\sum_{\beta=1}^n h_{\beta} = 1$), przez $t_{c\beta}$ temperaturę chłodziwa na granicy elementów β i $\beta+1$ oraz zakładając, że w obrębie jednego elementu temperatura chłodziwa zmienia się liniowo, można zanotować

$$\left. \frac{\partial t_c}{\partial z^+} \right|_{\beta} = 2 \frac{t_{c\beta n} - t_{c\beta-1}}{h_{\beta}} \quad (3)$$

Przyjęty zostanie następujący rozkład źródeł q_v ciepła i strumienia P ciepła

$$q_v(r, z, \tau) = f(z) q_{v0}(r, \tau) = \sin \frac{\pi(z+\delta)}{H+2\delta} q_{v0}(\tau) \quad (4)$$

$$P(z, \tau) = f(z) P_0(\tau) = \sin \frac{\pi(z+\delta)}{H+2\delta} P_0(\tau)$$

Celem rozwiązania powstałego zagadnienia wykonane zostanie w otrzymanych równaniach i warunkach brzegowych przekształcenie Laplace'a

$$\bar{f}(s) = \int_0^{\infty} e^{-s(F_0)} f[(F_0)] d(F_0), \quad (5)$$

a następnie przekształcenie całkowe o postaci

$$\bar{f}(\xi, s) = \int_0^1 R(\xi r^+) \bar{f}(r^+, s) dr^+ \quad (6)$$

Jądro $R(\xi r^+)$ transformacji całkowej (6) uzależnione jest od geometrii układu (zest. 1).

Po przekształceniach uzyskuje się układ $(2n-1)$ równań o postaci

$$[W][\bar{t}] = [K] \tag{7}$$

gdzie macierze:

$$[W] = \begin{bmatrix} F_1 & 0 & \dots & 0 & 0 & 0 & 0 \\ 0 & F_2 & \dots & 0 & -B_2 & 0 & 0 \\ \dots & \dots & \dots & \dots & \dots & \dots & \dots \\ 0 & 0 & \dots & F_n & 0 & 0 & -B_n \\ 2 & 0 & \dots & 0 & -1 & 0 & 0 \\ -2 & 0 & \dots & 0 & 0 & -1 & 0 \\ \dots & \dots & \dots & \dots & \dots & \dots & \dots \\ +2 & +2 & \dots & 2 & 0 & 0 & -1 \end{bmatrix} \tag{8}$$

$$[K] = \begin{bmatrix} t_{c1m}(0) + \Gamma_1 \bar{P}_0 + \sum_{i=1}^{\infty} E_{\xi_1}(s) \left[\bar{t}_{u1m}(\xi_1, 0) + \varepsilon_1 \bar{q}_{v0} \right] \\ \dots \\ t_{cnm}(0) + \Gamma_n \bar{P}_0 + \sum_{i=1}^{\infty} E_{\xi_1}(s) \left[\bar{t}_{unm}(\xi_1, 0) + \varepsilon_n \bar{q}_{v0} \right] \\ \dots \\ 0 \\ 0 \end{bmatrix} \tag{9}$$

$$[\bar{t}] = \begin{bmatrix} \bar{t}_{c1m} \\ \dots \\ \bar{t}_{cnm} \\ \bar{t}_{c1} \\ \dots \\ \bar{t}_{c,n-1} \end{bmatrix} \tag{10}$$

oraz

$$F_{\beta} = s + B_{\beta} + 2A \sum_{i=1}^{\infty} a_i T(\xi_i) \frac{s}{s + \xi_i} \int_0^1 R(\xi_i r^+) dr^+ \quad (11)$$

Wielkości a_i oraz $T(\xi_i r^+)$ zależą od geometrii elementów paliwowych (zest. 1), zaś ξ_i są pierwiastkami równania

$$\left. \frac{dT(\xi r^+)}{dr^+} \right|_{r^+=1} + T(\xi)(B_1) = 0$$

Rozwiązanie równania (7) ma postać:

$$\bar{t}_{c\beta m} = \sum_{\gamma=1}^{2n-1} K_{\gamma} \frac{D_{\gamma\beta}}{|W|} \quad (12)$$

gdzie $D_{\gamma\beta}$ jest dopełnieniem algebraicznym wyrazu (γ, β) wyznacznika głównego $|W|$ macierzy (8).

Wykonując w równaniu (12) odwrotne przekształcenie Laplace'a

$$f[(Fo)] = \mathcal{L}^{-1}[\bar{f}(s)] = \frac{1}{2\pi j} \int_{c-j\infty}^{c+j\infty} e^{s(Fo)} \bar{f}(s) ds \quad (13)$$

uzyskuje się średnią temperaturę chłodziwa w strefie β

$$\begin{aligned} t_{c\beta m}[(Fo)] = & \sum_{\gamma=1}^n \sum_{\nu=1}^{(\mu+1)n} M_{\gamma\beta}(s_{\nu}) \left\{ t_{c\gamma m}(0) e^{s_{\nu}(Fo)} + I_{\gamma} Y_{s_{\nu}}[(Fo)] + \right. \\ & + \sum_{i=1}^{\mu} E_{\xi_i} \left[\left[\bar{t}_{u\gamma m}(\xi_i, 0) \frac{1}{s_{\nu} + \xi_i} (e^{s_{\nu}(Fo)} - e^{-\xi_i^2(Fo)}) + \right. \right. \\ & \left. \left. + \varepsilon_{\gamma} \frac{1}{s_{\nu} + \xi_i} (\bar{X}_{s_{\nu}}[(Fo)] - \bar{X}_{-\xi_i^2}[(Fo)]) \right] \right\} \quad (14) \end{aligned}$$

gdzie:

$$Y_a[(Fo)] = \int_0^{(Fo)} e^{a[(Fo)-y]} P_o(y) dy \quad (15)$$

$$\bar{X}_a[(Fo)] = \int_0^{(Fo)} e^{a[(Fo)-y]} \bar{q}_{vo}(y) dy \quad (16)$$

oraz

$$E \xi_1 = 2 A a_1 T(\xi_1) \quad (17)$$

$$\mathcal{E}_\beta = \frac{d^2}{c_u h_\beta a} \int_{z_{\beta-1}}^{z_\beta} f(z^+) dz^+, \quad \Gamma_\beta = \frac{1-\gamma}{\lambda_c c_c} \mathcal{E}_\beta \quad (18)$$

W wyrażeniu (14) przyjęto $B_1 + B_2 + \dots + B_n$ w związku z czym spełniona jest równość:

$$\mathcal{L}^{-1} \left[\frac{D\gamma_\beta}{|W|} \right] = \sum_{\gamma=1}^{n(\mu+1)} M_{\gamma\beta}(s_\gamma) e^{s_\gamma(Fo)} \quad (19)$$

gdzie s_γ są pojedynczymi miejscami zerowymi wyznacznika $|W|$, zaś μ oznacza ilość wyrazów szeregu w wyrażeniu (11).

Średnią temperaturę strefy β paliwa wyraża równanie:

$$t_{u\beta m}[r^+, (Fo)] = t_{c\beta m}[Fo] + 2 \sum_{i=1}^{\infty} a_i T(\xi_i r^+) \left\{ \bar{t}_{u\beta m}(\xi_i, 0) e^{-\xi_i^2 (Fo)} + \right. \\ \left. - \bar{t}_{c\beta m}[Fo] + \xi_i^2 e^{-\xi_i^2 (Fo)} = \bar{t}_{c\beta m}[\xi_i, (Fo)] + \varepsilon \beta \bar{X}_{-\xi_i^2}^2 [Fo] \right\} \quad (20)$$

Zestawienie 1

Funkcje $R(\xi r^+)$, $T(\xi r^+)$ oraz a_k dla geometrii płaskiej i cylindrycznej [8]

Funkcja	Geometria płaska	Geometria cylindryczna
$R(\xi r^+)$	$\cos(\xi x^+)$	$r^+ J_0(\xi r^+)$
$T(\xi r^+)$	$\cos(\xi x^+)$	$J_0(\xi r^+)$
a_k	$\frac{\xi_k^2 + (Bi)^2}{\xi_k^2 + (Bi)^2 + (Bi)}$	$\frac{\xi_k^2}{\xi_k^2 + (Bi)^2} \frac{1}{J_0^2(\xi_k)}$

3. Równania kinetyki neutronów

Dla punktowego modelu kinetyki neutronów przy założeniu, że efektywność neutronów opóźnionych jest równa jedności można zanotować równania kinetyki w postaci [4]

$$\frac{dn(\tau)}{d\tau} = \frac{k(\tau)(1-\beta) - 1}{\Lambda} n(\tau) + \sum_{i=1}^6 \lambda_i c_i(\tau)$$

$$\frac{dc_i}{d\tau} = \frac{\beta_i k(\tau)}{\Lambda} n(\tau) - \lambda_i c_i(\tau)$$

(21)

Keepin i Cox [4] opracowali numeryczne rozwiązanie tych równań słuszne dla dowolnej zmiany reaktywności $\delta k(\tau) = k(\tau) - 1$.

Zakładając, że strumień ciepła P jest proporcjonalny do gęstości neutronów można zanotować rozwiązanie równań (21) w postaci

$$P(\tau + h) = \frac{P(0) + \sum_{j=0}^6 \left\{ e^{s_j h} \left[I_j(\tau) + \frac{1}{2} h A_j \delta k(\tau) P(\tau) \right] \right\}}{1 - \frac{1}{2} h \sum_{j=0}^6 \delta k(\tau + h) A_j} \quad (22)$$

gdzie: $I_j(\tau) = A_j \int_0^{\tau} e^{s_j(\tau-y)} \delta k(y) P(y) dy$, zaś s_j, A_j - współczynniki zależne od wartości Λ [4].

Jeżeli przez δk_{ex} oznaczona zostanie reaktywność wprowadzona z zewnątrz wówczas aktualną reaktywność opisać można zależnością

$$\delta k(\tau) = \delta k_{ex}(\tau) + \delta k_t(\tau) = \delta k_{ex}(\tau) + r_u [t_{um}(\tau) - t_{um}(0)] + r_c [t_{cm}(\tau) - t_{cm}(0)] \quad (23)$$

4. Wyniki obliczeń

Równania (14), (20) i (22) zaprogramowano na maszynę cyfrową w ten sposób, że możliwe było analizowanie pola temperatury po skokowej zmianie strumienia chłodziwa lub po zmianie reaktywności opisaną funkcją $\delta k_{ex} = a + b\tau + 1(\tau - \tau_0)(b\tau_0 - b\tau)$. Po niewielkich zmianach program można przystosować do dowolnej innej zmiany reaktywności.

Dla rozwiązania zagadnienia wykorzystano metodę iteracji do równań (14), (20) i (22). Jako pierwsze przybliżenie, dla każdego kroku czasu, w postępowaniu iteracyjnym zakładano $\delta k(\tau + h) = \frac{\partial[\delta k_{ex}(\tau)]}{\partial \tau} h + \delta k(\tau)$. Dla większości punktów uzyskiwano dostateczną dokładność już po trzech iteracjach. Jedynie w pobliżu maksimum strumienia ciepła ilość iteracji dochodziła do pięciu lub sześciu.

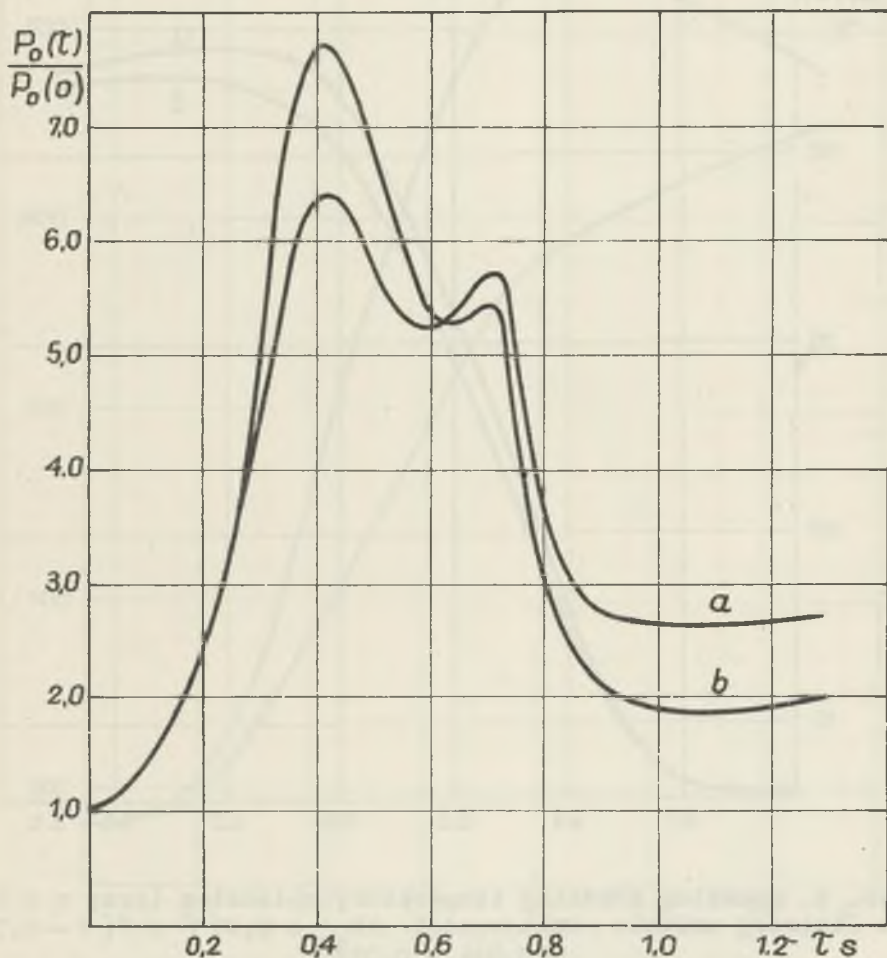
Całki (15) i (16) występujące w równaniach (14) i (20) oraz całkę $I_j(\tau)$ występującą w równaniu (22) obliczano metodą trapezów. W większości obliczonych przypadków dla odstępu czasu $h = 0,02$ s przy pięciu wyrazach szeregów uzyskiwano tą drogą dostateczną dokładność.

W wyniku przeprowadzonych obliczeń stwierdzono, że dla niewielkich zmian reaktywności, np. $\delta k_{ex}(\tau) = 0,02\tau + 1(\tau - 0,7)(0,014 - 0,02\tau)$ można uzyskać dostatecznie dokładne rezultaty już przy założeniu $n = 1$. Dla tej zmiany reaktywności przeprowadzono zatem obliczenia.

Rezultaty tych obliczeń przedstawione są na rysunkach 1, 2 i 3. Krzywa b na tych rysunkach ilustruje wyniki otrzymane po wykorzystaniu rozwiązania równań bilansu energii przy założeniu [2, 7] niezmienności stosunku

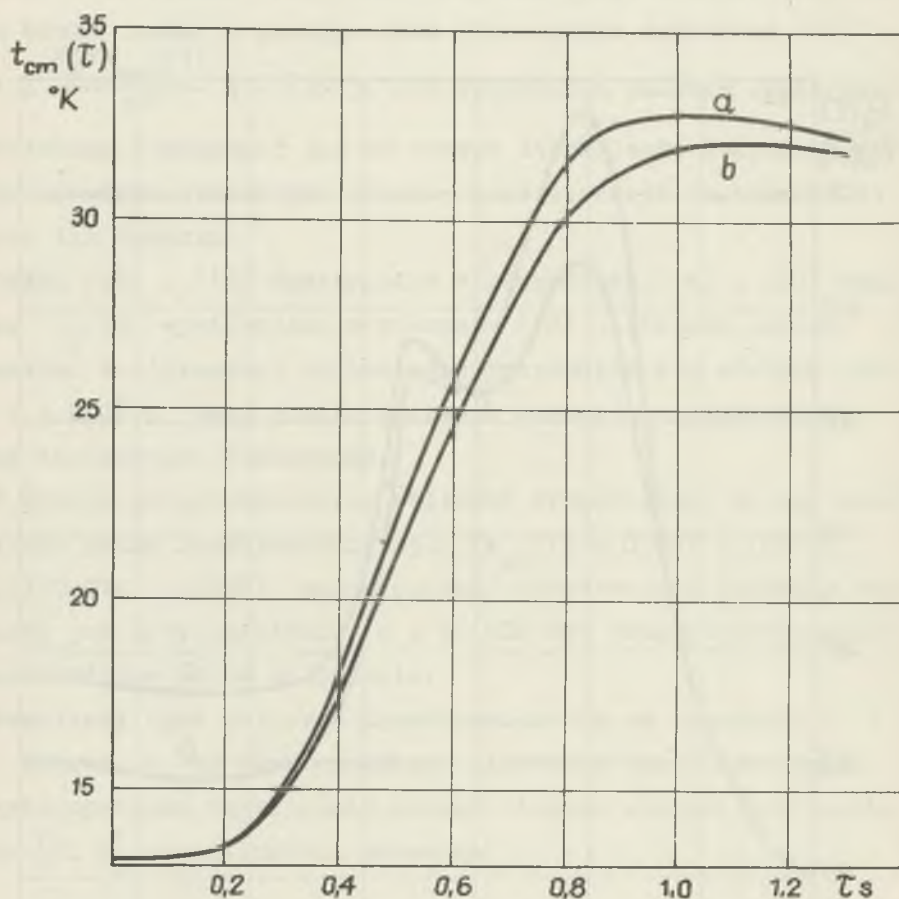
$$\frac{t_u[r^+, z^+, (Fo)] - t_c[z^+, (Fo)]}{t_u[1, z^+, (Fo)] - t_c[z^+, (Fo)]} = \frac{t_u(r^+, z^+, 0) - t_c(z^+, 0)}{t_u(1, z^+, 0) - t_c(z^+, 0)} = \partial \theta(r^+)$$

Założenie to mogłoby być uzasadnione w przypadku małych liczb Biota. Jak wynika z rysunków w analizowanym przypadku temperatura osi paliwa uzyskana z rozwiązania przybliżonego odbiega znacznie od rozwiązania dokładnego.



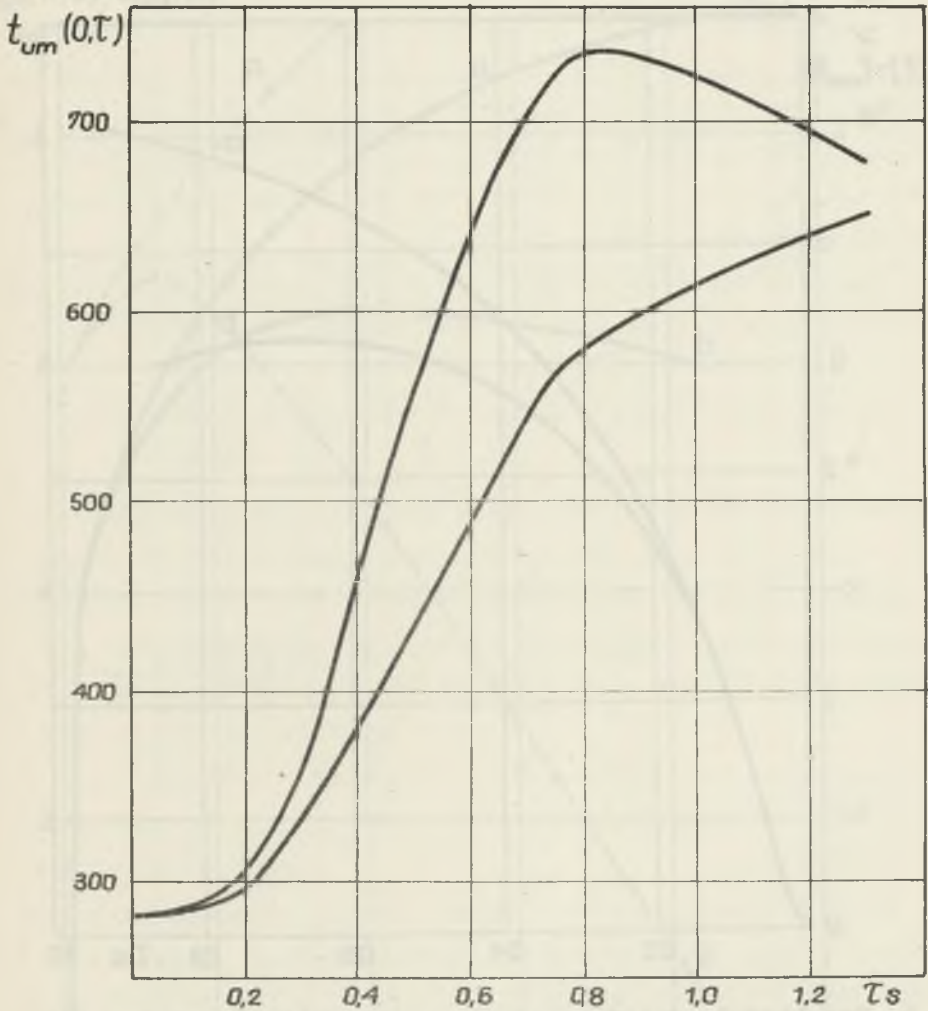
Rys. 1. Przebieg strumienia $P_0(\tau)$ ciepła (przy $n = 1$) po liniowej zmianie reaktywności $\delta k_{ex} = 0,02\tau + 1(\tau - 0,7)$ ($0,014 - 0,02\tau$):

a - zmienny profil temperatury paliwa, sześć grup neutronów opóźnionych, b - niezmienny profil temperatury paliwa, jedna grupa neutronów opóźnionych



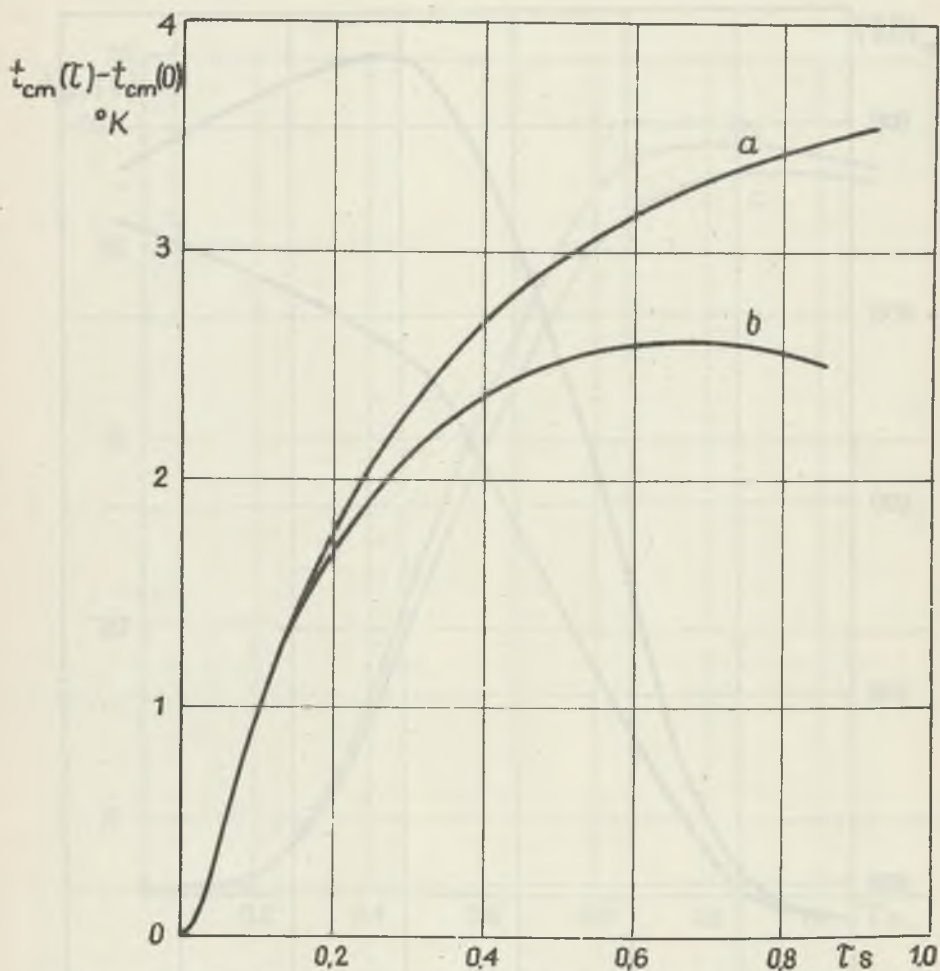
Rys. 2. Przebieg średniej temperatury chłodziwa (przy $n = 1$) po liniowej zmianie reaktywności $\delta k_{eff} = 0,02\tau + 1(\tau - 0,7)$ ($0,014 - 0,02\tau$):

a - zmienny profil temperatury paliwa, sześć grup neutronów opóźnionych, b - niezmienny profil temperatury paliwa, jedna grupa neutronów opóźnionych

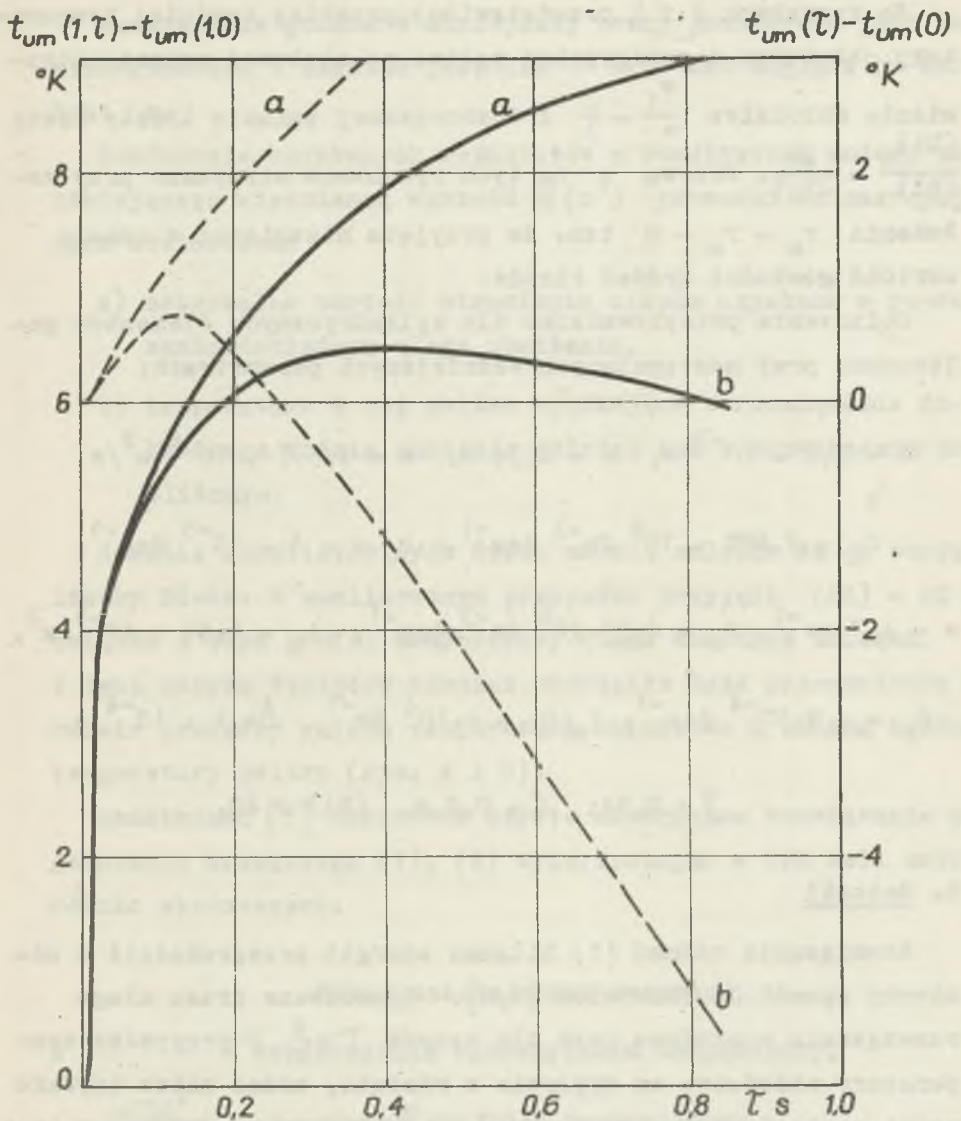


Rys. 3. Przebieg średniej temperatury w osi paliwa (przy $n=1$) po liniowej zmianie reaktywności $\delta k_{ex} = 0,02\tau + 1(\tau - 0,7)$ (0,014 - 0,02 τ):

a - zmienny profil temperatury paliwa, sześć grup neutronów opóźnionych, b - niezmienny profil temperatury paliwa, jedna grupa neutronów opóźnionych



Rys. 4. Przebieg średniej temperatury chłodziwa (przy $n = 1$)
 po skokowej zmianie strumienia chłodziwa:
 a - niezmienna gęstość źródeł ciepła, b - zmienna gęstość źródeł ciepła



Rys. 5. Przebieg (przy $n = 1$) średniej temperatury powierzchni paliwa i średniej temperatury paliwa po skokowej zmianie strumienia chłodziwa:

a - niezmienna gęstość źródeł ciepła, b - zmienna gęstość źródeł ciepła

Na rysunkach 4 i 5 przedstawiono przebieg średniej temperatury chłodziwa i powierzchni paliwa po skokowej zmianie strumienia chłodziwa $\frac{w_1}{w} = \frac{2}{3}$ i równoczesnej zmianie liczby Biota $(Bi)_1 = \frac{20}{(Bi)}$. Krzywą a na tych rysunkach otrzymano przy założeniu $r_u = r_o = 0$ tzn. że przyjęto niezmienną w czasie wartość gęstości źródeł ciepła.

Obliczenia przeprowadzono dla cylindrycznych elementów paliwowych przy następujących ważniejszych parametrach:

$$d = 3,7 \cdot 10^{-3} \text{ m}, \quad H = 2,34 \text{ m}, \quad a = 1,597 \cdot 10^{-6} \text{ m}^2/\text{s},$$

$$c_u = 2,887 \cdot 10^6 \text{ Jm}^{-3} \text{ deg}^{-1}, \quad r_u = -1 \cdot 10^{-5} \text{ deg}^{-1},$$

$$w = 4,7 \text{ ms}^{-1}, \quad c_c = 4,35 \cdot 10^6 \text{ Jm}^{-3} \text{ deg}^{-1}, \quad A_c = 6,62 \cdot 10^{-5} \text{ m}^2,$$

$$r_c = -5 \cdot 10^{-4} \text{ deg}^{-1}, \quad P_o(0) = 2 \cdot 10^4 \text{ Wm}^{-1}, \quad \Delta = 1 \cdot 10^{-4} \text{ s},$$

$$\gamma = 0,94; \quad \delta = 0,3 \text{ m}, \quad (Bi) = 20.$$

5. Wnioski

Rozwiązanie równań (1) bilansu energii przeprowadził w odmienny sposób Ciechanowicz [1,2]. Opracowane przez niego rozwiązanie spełnione jest dla czasów $\tau > \frac{H}{w}$. W przypadku temperatury chłodziwa na wypływie z rdzenia, można zatem uzyskać rozwiązanie dopiero dla czasu $\tau > \frac{H}{w}$. Dla wielkości przyjętych w analizowanym przykładzie $\frac{H}{w} \approx 0,5$ s. Z rysunku 1 wynika, że dla czasów $\tau \approx 0,5$ s strumień ciepła $P(\tau)$ osiąga wartość maksymalną, a temperatury różnią się już znacznie od temperatur w stanie ustalonym.

Rozwiązanie podane w niniejszej pracy pozbawione jest tej niedogodności i słuszne jest dla $\tau \geq 0$ bez względu na wartość n .

Porównanie uzyskanych rezultatów z rezultatami modelu zakładającego niezmienną wartość $\mathcal{H}(r^+)$ prowadzi do następujących stwierdzeń:

- a) maksymalna wartość strumienia ciepła uzyskana w rozwiązaniu dokładnym ulega obniżeniu,
- b) temperatura w osi paliwa wynikająca z rozwiązania dokładnego rośnie znacznie wolniej niż w rozwiązaniu przybliżonym.

Różnice rezultatów tych dwóch modeli zależne są od wartości liczby Biota. W analizowanym przypadku przyjęto $(Bi) = 20$ w związku z czym profil temperatury uległ znacznym zmianom. Z tych samych względów również wystąpiło duże przesunięcie w czasie pomiędzy zmianą temperatury chłodziwa i zmianą średniej temperatury paliwa (rys. 4 i 5).

Sanathanan [5] opracował czysto numeryczne rozwiązanie zagadnienia brzegowego (1), (2) wykorzystując w tym celu metodę różnic skończonych.

Wykaz ważniejszych oznaczeń

- a - współczynnik wyrównywania temperatury,
- $A = \frac{\alpha D d^2}{a A_c C_c}$ - niezmienna wielkość bezwymiarowa,
- A_c - pole przekroju poprzecznego chłodziwa odniesione do jednego elementu paliwowego,
- $B = \frac{w d^2}{Ha}$ - niezmienna wielkość bezwymiarowa,
- (Bi) - liczba Biota,

- C - pojemność cieplna odniesiona do jednostki objętości,
- d - promień elementu paliwowego (pół grubości dla geometrii płaskiej),
- D - obwód elementu paliwowego (podwójna szerokość dla geometrii płaskiej),
- $(Fo) = \tau \cdot \frac{a}{d^2}$ - liczba Fouriera,
- H - wysokość rdzenia,
- P - strumień ciepła przypadający na jednostkę długości paliwa,
- q_v - gęstość źródeł ciepła,
- $r^+ = \frac{r}{d}$ - zredukowana współrzędna prostopadła do osi paliwa,
- t - nadwyżka temperatury ponad niezmienną temperaturą chłodziwa na dopływie,
- $z^+ = \frac{z}{H}$ - zredukowana współrzędna w kierunku przepływu chłodziwa,
- α - współczynnik przejmowania ciepła od paliwa do chłodziwa,
- γ - część energii rozszczepieniowej generowana w paliwie,
- $\Gamma = \frac{(1 - \gamma)d^2}{A_c C_c a}$ - wielkość niezmienna,
- δ - odległość ekstrapolacji strumienia neutronów,
- $\varepsilon = \frac{d^2}{a C_u}$ - wielkość niezmienna,
- τ - czas,
- Λ - czas generacji neutronów dla układu o skończonych rozmiarach,
-)_c - dotyczy chłodziwa,
-)_u - dotyczy paliwa.

LITERATURA

- [1] W. CIECHANOWICZ: Nukleonika, 5, 317 (1961).
- [2] W. CIECHANOWICZ: Nucl. Sci. Engng., 13, 75 (1962).
- [3] A. KAZI, J. TOMONTO, B. CHERRY: Nucl. Sci. Engng., 26, 131 (1966).
- [4] G.R. KEEPIN, C.W. COX: Nucl. Sci. Engng., 8, 670 (1960).
- [5] C.K. SANATHANAN: Nucl. Sci. Engng., 28, 82 (1967).
- [6] J.F. THORPE: Nucl. Sci. Engng., 23, 329 (1965).
- [7] J. TOMECZEK: Zesz. Nauk. Pol. Śląsk. ser. Energ. 28 (1968).
- [8] K.J. TRANTER: Integralnye preobrazowania w matematycznej fizyce. Moskwa, 1954.

НЕСТАЦИОНАРНОЕ ТЕМПЕРАТУРНОЕ ПОЛЕ В ТОПЛИВЕ И ОХЛАДИТЕЛЕ
ВОДЯНОГО РЕАКТОРА

Р е з ю м е

В работе получено уравнения для определения изменения температуры топлива, охладителя и плотности источников тепла после произвольного изменения реактивности или скачкообразного изменения потока охладителя. Уравнения баланса энергии разрешено для двух геометрических координат. Для уравнений кинетики применено решение Кипина-Кокса.

Результаты сравнено с решением, в котором уравнения баланса энергии разрешено для одной геометрической координаты.

THE UNSTEADY TEMPERATURE FIELD IN THE FUEL AND COOLANT
OF THE PRESSURE WATER REACTOR

S u m m a r y

In this paper the expressions for the fuel temperature, coolant temperature and the heat sources density changes caused by an arbitrary reactivity increase or by the jump-like change of coolant flow have been drawn. The energy balance equations in a two geometric co-ordinates have been solved. For the kinetic equations the Keepin's-Cox's solution has been applied.

The results have been compared with the solution in which the energy balance equations have been solved in a one geometric co-ordinates.